

صلوات الله



دانشگاه کردستان

دانشکده علوم

گروه شیمی

عنوان:

تخریب فوتوکاتالیزی رنگ‌های آنیونی و کاتیونی با استفاده از نانوذرات  $TiO_2$  و

$TiO_2/CdS$  نانوکامپوزیت

پژوهشگر:

آذین اسفندیاری

استاد راهنما:

دکتر سجاد محبی

پایان نامه کارشناسی ارشد رشته شیمی گرایش معدنی

۱۳۹۲ دی ماه

کلیه حقوق مادی و معنوی مترتب بر نتایج مطالعات،

ابتكارات و نوآوری های ناشی از تحقیق موضوع

این پایان نامه (رساله) متعلق به دانشگاه کردستان است.

## \* \* \* تعهد نامه \*

اینجانب آذین اسفندیاری دانشجوی کارشناسی ارشد رشته شیمی گرایش معدنی دانشگاه کردستان،  
دانشکده علوم گروه شیمی تعهد می نماییم که محتوای این پایان نامه نتیجه تلاش و تحقیقات خود بوده و از  
جایی کپی برداری نشده و به پایان رسانیدن آن نتیجه تلاش و مطالعات مستمر اینجانب و راهنمایی و مشاوره  
اساتید بوده است.

با تقدیم احترام

آذین اسفندیاری



دانشگاه کردستان  
دانشکده علوم  
گروه شیمی

پایان نامه کارشناسی ارشد رشته شیمی گرایش معدنی

عنوان:

تخریب فوتوکاتالیزی رنگ‌های آنیونی و کاتیونی با استفاده از نانوذرات  $TiO_2$  و  
 $TiO_2/CdS$  نانوکامپوزیت

پژوهشگر:  
آذین اسفندیاری

در تاریخ / / ۱۳ توسط کمیته تخصصی وهیات داوران زیر مورد بررسی قرار گرفت و با نمره ..... و درجه ..... به تصویب رسید.

امضاء	مرتبه علمی	نام و نام خانوادگی	هیات داوران
	دانشیار	دکتر سجاد محبی	۱- استاد راهنما
	استادیار	دکتر مهدی ایرانی	۲- استاد مشاور
	دانشیار	دکتر روشن خوشنوازی	۳- استاد داور داخلی
	دانشیار	دکتر محمد قادر مرزی	۴- استاد داور داخلی

مهر و امضاء معاون آموزشی و تحصیلات تكميلی دانشکده

مهر و امضاء گروه

تعدیم به درم بـ استواری کوه، مادرم بـ زلایی چشمـه

کـه تمام هستی اـم را ز آنـان دارـم ...

کمال مشکر را از استاد راهنمایی کر اتقدر م جناب آقای دکتر محبی پایت تلاش های بی دیغشان در به شر نشستن  
این پایان نامه را دارم. همچنین از خانواده هم برآنم که تکنیکه گاه استوارم در تمام مراحل زندگی بوده اند و بهم  
دانشجویان آزمایشگاه های تحقیقاتی شیمی دانشگاه کردستان که بدون گلستان طی کردن این مسیر بسی دشوار بود،  
مشکر می کنم.

## چکیده

در این پژوهش حذف ترکیبات رنگی کاتیونی و آنیونی ۴-آمینوآزو بنزن، متیل اورانژ و رودامین-ب که از جمله آلودگی‌های محلول در آب به شمار می‌آیند از طریق "تخریب فتوکاتالیزی" با استفاده از نانوکامپوزیت  $TiO_2/CdS$  و نانوذره  $TiO_2$  در حلال آب تحت پرتودهی ماوراء بنسخ انجام شد. علاوه بر این ثابت‌های سرعت و تناوب چرخه<sup>۱</sup> (TOF) واکنش‌های تخریب فتوکاتالیزی مورد مطالعه قرار گرفت.

نانوذره  $TiO_2$  از هیدرولیز  $TiCl_4$  تحت تاثیر سولفوریک اسید و نانوکامپوزیت  $TiO_2/CdS$  از نشاندن  $CdS$  روی سطح نانوذره  $TiO_2$  از روش ترسیب شیمیایی تک منبعی تهیه شدند. اندازه نانوذرات  $TiO_2$  ۶-۹ نانومتر و نانوکامپوزیت  $TiO_2/CdS$  ۲۶-۳۰ نانومتر اندازه‌گیری شد. واکنش‌های تخریب فتوکاتالیزی در محلول آبی نانوذرات (۰/۱۲۵، ۰/۰۹ و ۰/۱۶ گرم بر لیتر) در pH های ۵، ۷ و ۹ تحت پرتودهی ماوراء بنسخ انجام شد.

شرایط بهینه آزمایش در  $pH=7$  در مدت زمان ۶۰ دقیقه پرتودهی برای متیل اورانژ در حضور نانوذرات تیتانیم دی اکسید با بازده تخریب ۷۳ درصد بدست آمد در حالی که در شرایط یکسان در حضور نانوکامپوزیت تیتانیم دی اکسید/کادمیم سولفید بازده تخریب ۸۱ درصد بدست آمد. شرایط تخریب محلول ۴-آمینو آزو بنزن در  $pH=5$  در مدت زمان واکنش ۴۰ دقیقه در حضور نانو ذرات تیتانیم دی اکسید با بازده تخریب ۷۸ درصد بدست آمد در حالی که در حضور نانوکامپوزیت بازده تخریب ۹۰ درصد بدست آمد. واکنش کاتالیزی یکسان برای رودامین-ب در  $pH$  بهینه با بازده تخریب ۹۱ و ۹۷ درصد به ترتیب در حضور نانوذرات تیتانیم دی اکسید و نانوکامپوزیت تیتانیم دی اکسید/کادمیم سولفید انجام شد. نتایج نشانگر کارایی بالاتر نانوکامپوزیت تیتانیم دی اکسید/کادمیم سولفید در تخریب فتوکاتالیزی نسبت به نانوذرات تیتانیم دی اکسید است.

ترکیب رنگی ۴-آمینو آزو بنزن در حضور نانوکامپوزیت تیتانیم دی اکسید/کادمیم سولفید مقدار  $TOF = 10^{-4} \text{ min}^{-1} \times 18$  دارد که در حضور نانوذرات تیتانیم دی اکسید خالص مقدار  $10^{-4} \text{ min}^{-1} \times 3/5$  بدست آمد.

**کلمات کلیدی:** نانوذره، نانوکامپوزیت، تخریب فتوکاتالیزی، ترکیبات رنگی، ثابت سرعت، تناوب (TOF)

<sup>۱</sup>Turnover Frequency

## فهرست مطالب

### عنوان صفحه

---

۱	فصل اول: بررسی منابع
۱	۱-۱ مقدمه
۲	۱-۲ کاتالیزگر و فرایند کاتالیز
۳	۱-۳ عملکرد کاتالیزگر
۴	۱-۳-۱ فعالیت
۴	۱-۳-۲ انتخاب پذیری
۵	۱-۳-۳ پایداری
۶	۱-۴ دسته‌بندی کاتالیزگرها
۷	۱-۴-۱ ریست کاتالیزگرها
۸	۱-۴-۲ کاتالیزگرهای همگن
۸	۱-۴-۳ کاتالیزگرهای ناهمگن
۱۰	۱-۵ مقدمه‌ای بر نانوکاتالیز
۱۲	۱-۵-۱ سنتز نانوکاتالیزگرهای فعال
۱۳	۱-۵-۲ اثر اندازه
۱۷	۱-۵-۳ اثر شکل
۱۸	۱-۵-۴ اثر ترکیب شدن
۲۱	۱-۶-۱ نانوفوتوكاتالیزگرها
۲۱	۱-۶-۱-۱ مبانی فوتوكاتالیزگری نیمه‌هادی‌ها

۲۳.....	۱-۶-۲ تاریخ مواد فتوکاتالیزی
۲۴.....	۱-۶-۳ مهندسی نوار انرژی
۲۴.....	۱-۳-۶ تنظیم پیوسته نوار ظرفیت و یا نوار هدایت
۲۶.....	۱-۷ فرصت‌ها و چالش‌های اصلی
۲۸.....	۱-۸ اهداف پایان‌نامه
۲۹.....	<b>فصل دوم: عملیات آزمایشگاهی</b>
۲۹.....	۲-۱ مقدمه
۳۰.....	۲-۲ مواد مورد استفاده
۳۰.....	۲-۳ مشخصات دستگاه‌ها و تجهیزات به کار رفته در تولید، شناسایی و کابرد نانوذرات
۳۰.....	۲-۴ تهییه نانوذرات تیتانیم دی اکسید آناناتز
۳۱.....	۲-۵ تهییه نانوکامپوزیت $TiO_2/CdS$
۳۲.....	۲-۵-۱ تهییه پیش‌ماده $CdS$
۳۲.....	۲-۵-۲ جفت کردن $CdS$ با $TiO_2$
۳۳.....	۲-۶ بررسی اثر pH در تخریب فتوکاتالیزی متیل اورانژ
۳۴.....	۲-۷ بررسی اثر غلظت فتوکاتالیزگر در تخریب فتوکاتالیزی متیل اورانژ
۳۵.....	۲-۸ بررسی اثر نوع فتوکاتالیزگر در تخریب فتوکاتالیزی متیل اورانژ
۳۶.....	۲-۹ بررسی اثر pH در تخریب فتوکاتالیزی ۴-آمینو آزو بنزن
۳۷.....	۲-۱۰ بررسی اثر غلظت فتوکاتالیزگر در تخریب فتوکاتالیزی ۴-آمینو آزو بنزن
۳۸.....	۲-۱۱ بررسی اثر نوع فتوکاتالیزگر در تخریب فتوکاتالیزی ۴-آمینو آزو بنزن
۳۹.....	۲-۱۲ بررسی اثر pH در تخریب فتوکاتالیزی رودامین-ب توسط نانوذرات $TiO_2$

۴۰.....	۱۳-۲ بررسی اثر غلظت فوتوکاتالیزگر در تخریب فوتوکاتالیزی رودامین-ب
۴۱.....	۱۴-۲ بررسی اثر نوع فوتوکاتالیزگر در تخریب فوتوکاتالیزی رودامین-ب
۴۳.....	<b>فصل سوم: نتایج و بحث</b>
۴۳.....	۱-۳ مقدمه
۴۴.....	۲-۳ بررسی نتایج به دست آمده از شناسایی نانوذرات تیتانیم دی اکسید آناتاز
۴۶.....	۳-۳ بررسی نتایج به دست آمده از شناسایی نانوکامپوزیت $TiO_2/CdS$
۴۹.....	۴-۳ مشخصات راکتور و شرایط انجام واکنش فوتوکاتالیزی
۴۹.....	۵-۳ تحلیل تاثیر pH در بازده تخریب فوتوکاتالیزی توسط نانوذرات تیتانیم دی اکسید
۵۰.....	۱-۵-۳ بررسی تخریب فوتوکاتالیزی متیل اورانژ
۵۲.....	۲-۵-۳ بررسی تخریب فوتوکاتالیزی ۴-آمینو آزو بنزن
۵۳.....	۳-۵-۳ بررسی تخریب فوتوکاتالیزی رودامین-ب
۵۴.....	۳-۶ تحلیل تاثیر غلظت تیتانیم دی اکسید در بازده تخریب فوتوکاتالیزی
۵۴.....	۱-۶-۳ بررسی تخریب فوتوکاتالیزی متیل اورانژ
۵۵.....	۲-۶-۳ بررسی تخریب فوتوکاتالیزی ۴-آمینو آزو بنزن
۵۷.....	۳-۶-۳ بررسی تخریب فوتوکاتالیزی رودامین-ب
۵۸.....	۳-۷ تحلیل اثر نوع فوتوکاتالیزگر در بازده تخریب فوتوکاتالیزی
۵۸.....	۱-۷-۳ بررسی تخریب فوتوکاتالیزی متیل اورانژ
۵۹.....	۲-۷-۳ بررسی تخریب فوتوکاتالیزی ۴-آمینو آزو بنزن
۶۰.....	۳-۷-۳ بررسی تخریب فوتوکاتالیزی رودامین-ب
۶۱.....	۳-۸ محاسبات ثابت سرعت واکنش‌های تخریب فوتوکاتالیزی

۶۴.....	۱-۸-۳ اثر pH بر ثابت سرعت تخریب فتوکاتالیزی ترکیبات رنگی
۶۵.....	۲-۸-۳ اثر غلظت فتوکاتالیزگر بر تخریب فتوکاتالیزی ترکیبات رنگی
۶۶.....	۳-۸-۳ اثر نوع فتوکاتالیزگر بر تخریب فتوکاتالیزی ترکیبات رنگی
۶۶.....	۹-۳ محاسبات تناوب چرخه (TOF)
۶۷.....	۱-۹-۳ اثر pH بر TOF تخریب فتوکاتالیزی ترکیبات رنگی
۶۸.....	۲-۹-۳ اثر غلظت فتوکاتالیزگر بر TOF تخریب فتوکاتالیزی ترکیبات رنگی
۶۸.....	۳-۹-۳ اثر نوع فتوکاتالیزگر بر TOF تخریب فتوکاتالیزی ترکیبات رنگی
۷۰.....	۱۰-۳ نتیجه‌گیری
۷۲.....	فهرست منابع

## فهرست اشکال

عنوان	صفحه
شکل ۱-۱: نمودار انرژی پتانسیل واکنش کاتالیزی	۲
شکل ۱-۲: چرخه کاتالیزی	۳
شکل ۱-۳: چرخه کاتالیزی زیست کاتالیزگرهای	۷
شکل ۱-۴: نمودار انرژی پتانسیل و چرخه واکشن کاتالیزی اکسیداسیون CO	۹
شکل ۱-۵: سرعت تشکیل $\text{CO}_2$ در حضور نانو ساختارهای مختلف طلا	۱۲
شکل ۱-۶: مدل ارائه شده فعالیت کاتالیزی برای اکسایش CO	۱۴
شکل ۱-۷: تاثیر اندازه کلاستر بر فاصله انرژی	۱۴
شکل ۱-۸: تاثیر اندازه نانوذرات طلا در اکسیداسیون الکتروکاتالیزی CO	۱۵
شکل ۱-۹: تفاوت انرژی اتصال مکانهای پله و تراس	۱۶
شکل ۱-۱۰: تصاویر TEM و نمودار سرعت واکنش پذیری کریستالهایی با شاخصهای وجوه مختلف	۱۸
شکل ۱-۱۱: تاثیر موقعیت مرکز نوار $d$ نسبت به سطح فرمی در واکنش پذیری کاتالیزگرهای ساندویچی	۲۰
شکل ۱-۱۲: چرخه فوتوكاتالیزی	۲۲
شکل ۱-۱۳: موقعیت‌های لبه-نوار فوتوكاتالیزگرهای نیمه‌هادی	۲۷
شکل ۳-۱: طیف FT-IR نانوذرات تیتانیم دی اکسید	۴۵
شکل ۳-۲: طیف DRS نانوذرات تیتانیم دی اکسید	۴۵
شکل ۳-۳: تصویر TEM نانوذرات تیتانیم دی اکسید	۴۶
شکل ۳-۴: طیف DRS نانوکامپوزیت $\text{TiO}_2/\text{CdS}$	۴۷
شکل ۳-۵: طیف EDX نانوکامپوزیت $\text{TiO}_2/\text{CdS}$	۴۸

شکل ۳-۶: تصویر SEM نانوکامپوزیت  $TiO_2/CdS$  ۴۹.....

شکل ۳-۷: ساختار سه ترکیب ۴-آمینو آزو بنزن، متیل اورانژ و رودامین-ب ۵۰.....

شکل ۳-۸: نمودار تغییرات بازده تخریب متیل اورانژ در pH های ۵، ۷ و ۹ در حضور نانوذرات  $TiO_2$  ۵۱.....

شکل ۳-۹: نمودار تغییرات بازده تخریب ۴-آمینو آزو بنزندر pH های ۵، ۷ و ۹ در حضور نانوذرات  $TiO_2$  ۵۲.....

شکل ۳-۱۰: نمودار تغییرات بازده تخریب رودامین-ب در pH های ۵، ۷ و ۹ در حضور نانوذرات  $TiO_2$  ۵۳.....

شکل ۳-۱۱: نمودار تغییرات بازده تخریب متیل اورانژ در حضور ۹ و ۱۶ میلی گرم از نانوذرات  $TiO_2$  ۵۵.....

شکل ۳-۱۲: نمودار تغییرات بازده تخریب ۴-آمینو آزو بنزن در حضور ۹ و ۱۶ میلی گرم از نانوذرات  $TiO_2$  ۵۶.....

شکل ۳-۱۳: نمودار تغییرات بازده تخریب رودامین-ب در حضور ۹ و ۱۶ میلی گرم از نانوذرات  $TiO_2$  ۵۷.....

شکل ۳-۱۴: نمودار تغییرات بازده تخریب متیل اورانژ در حضور نانوکامپوزیت  $TiO_2/CdS$  ۵۹.....

شکل ۳-۱۵: نمودار تغییرات بازده تخریب ۴-آمینو آزو بنزندر حضور نانوکامپوزیت  $TiO_2/CdS$  ۶۰.....

شکل ۳-۱۶: نمودار تغییرات بازده تخریب رودامین-ب در حضور نانوکامپوزیت  $TiO_2/CdS$  ۶۱.....

## فهرست جداول

### صفحه

### عنوان

---

جدول ۲-۱: داده‌های تخریب فتوکاتالیزی متیل اورانژ در سه pH ۵، ۷ و ۹ و در حضور نانوذرات TiO <sub>2</sub> ۳۴.....	۳۴
جدول ۲-۲: داده‌های تخریب فتوکاتالیزی متیل اورانژ در حضور ۹ و ۱۶ میلی گرم از نانوذرات TiO <sub>2</sub> ۳۵.....	۳۵
جدول ۲-۳: داده‌های تخریب فتوکاتالیزی متیل اورانژ در حضور نانوکامپوزیت TiO <sub>2</sub> /CdS ۳۶.....	۳۶
جدول ۲-۴: داده‌های تخریب فتوکاتالیزی ۴-آمینو آزو بنزن در سه pH ۵، ۷ و ۹ و در حضور نانوذرات TiO <sub>2</sub> ۳۷.....	۳۷
جدول ۲-۵: داده‌های تخریب فتوکاتالیزی ۴-آمینو آزو بنزن در حضور ۹ و ۱۶ میلی گرم از نانوذرات TiO <sub>2</sub> ۳۸.....	۳۸
جدول ۲-۶: داده‌های تخریب فتوکاتالیزی ۴-آمینو آزو بنزن در حضور نانوکامپوزیت TiO <sub>2</sub> /CdS ۳۹.....	۳۹
جدول ۲-۷: داده‌های تخریب فتوکاتالیزی رودامین-ب در سه pH ۵، ۷ و ۹ و در حضور نانوذرات TiO <sub>2</sub> ۴۰.....	۴۰
جدول ۲-۸: داده‌های تخریب فتوکاتالیزی رودامین-ب در حضور ۹ و ۱۶ میلی گرم از نانوذرات TiO <sub>2</sub> ۴۱.....	۴۱
جدول ۲-۹: داده‌های تخریب فتوکاتالیزی رودامین-ب در حضور نانوکامپوزیت TiO <sub>2</sub> /CdS ۴۲.....	۴۲
جدول ۳-۱: داده‌های حاصل از اثر pH بر مقادیر ثابت سرعت ۶۴.....	۶۴
جدول ۳-۲: داده‌های حاصل از اثر غلظت فتوکاتالیزگر بر مقادیر ثابت سرعت ۶۵.....	۶۵
جدول ۳-۳: داده‌های حاصل از اثر نوع فتوکاتالیزگر بر مقادیر ثابت سرعت ۶۶.....	۶۶
جدول ۳-۴: داده‌های حاصل از اثر pH بر مقادیر TOF ۶۷.....	۶۷
جدول ۳-۵: داده‌های حاصل از اثر غلظت فتوکاتالیزگر بر مقادیر TOF ۶۸.....	۶۸
جدول ۳-۶: داده‌های حاصل از اثر نوع فتوکاتالیزگر بر مقادیر TOF ۶۹.....	۶۹
جدول ۳-۷: بازده تخریب، ثابت‌های سرعت و مقادیر TOF تخریب فتوکاتالیزی سه ترکیب رنگی ۷۱.....	۷۱

## فصل اول

### بررسی منابع

#### ۱-۱ مقدمه

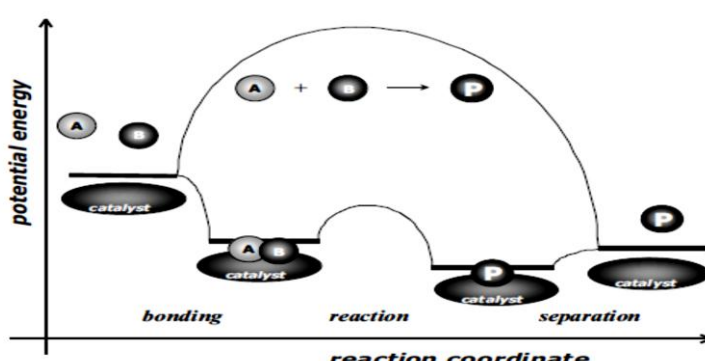
پساب‌های رنگی حاصل از صنایع تولیدی، نساجی و کاغذ به علت آلایندگی زیاد و خواص سمی آنها موجب نگرانی‌های زیست محیطی شده است. بنابراین حذف ترکیبات رنگی از پساب‌ها از اهمیت فوق العاده‌ای برخوردار است زیرا آلودگی آب حتی در مقداری خیلی جزئی محیط زیست و به مراتب انسان را با مشکلات قابل ملاحظه‌ای رو به رو خواهد کرد [۱و۲]. از آنجایی که در این پژوهش هدف تخریب فوتوفکاتالیزی سه نوع از این ترکیبات رنگی است بنابراین، به شرحی از فرایند کاتالیز، انواع کاتالیزگرها، عوامل موثر بر کارایی آنها و دیگر اطلاعاتی که فهم چگونگی انجام این نوع از تخریب را آسان می‌کند پرداخته شده است.

## ۱-۲ کاتالیزگر و فرایند کاتالیز

اصطلاح کاتالیز اولین بار توسط برزلیوس<sup>۳</sup> در سال ۱۸۳۶ برای یک قابلیت ذاتی جدید که توسط یک تماس کاتالیزی باعث پیشرفت یک واکنش شیمیایی می‌شود به کار برده شد به نظر او کاتالیزگر ماده‌ای است که سرعت واکنش را بدون کاسته یا افزوده شدن بالا می‌برد [۳].

واکنش‌های کاتالیزی از زمان باستان کاربرد داشتند اما اساس این واکنش‌ها در آن زمان ناشناخته بود برای نمونه، تخمیر شکر به اتانول و تبدیل اتانول به استیک‌اسید توسط آنزیم‌ها (زیست کاتالیزگر-ها<sup>۳</sup>) انجام می‌شود. پیشرفت‌های علمی فرایندهایی که در حضور کاتالیزگر انجام می‌شوند از حدود ۲۰۰ سال قبل آغاز شد و تا کنون روز به روز بر اهمت آن افزوده شده است. اگرچه استفاده گسترده از کاتالیزگر در صنعت از اوایل قرن بیستم آغاز شد اما در حال حاضر بیش از ۹۵ درصد از مواد شیمیایی حداقل یک مرحله از مراحل تولیدشان شامل مرحله کاتالیزی است [۴].

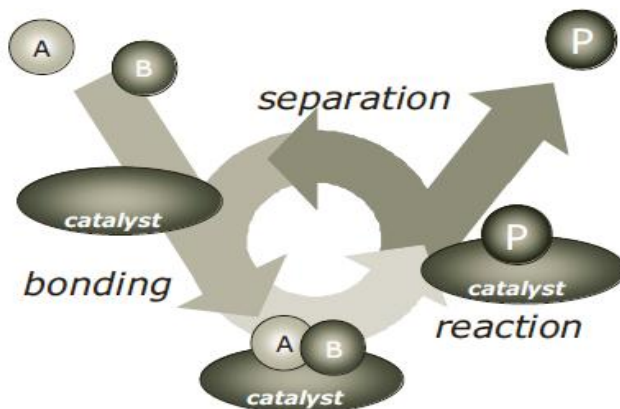
کاتالیزگر قابلیت شتاب دادن به سرعت واکنش یا تغییر انتخاب‌پذیری نسبت به محصولات مختلف در مقایسه با زمانی که واکنش در غیاب کاتالیزگر انجام می‌شود را دارد [۳]. این واقعیت وجود دارد که حضور کاتالیزگر می‌تواند توزیع محصولات را تغییر داده و مسیر جدیدی برای تولید محصول مورد نظر را باعث می‌شود (شکل ۱-۱).



شکل ۱-۱: نمودار انرژی پتانسیل واکنش کاتالیزی

<sup>۳</sup>Berzelius  
biocatalysts

حضور یک کاتالیزگر جنبه‌های سنتیکی یک واکنش را با کم کردن انرژی فعال‌سازی بدون تاثیر بر ترمودینامیک واکنش تحت تاثیر قرار می‌دهد. یک تعریف که امروزه نیز معتبر است تعریف اسوالد<sup>۴</sup> (۱۸۹۵) است که می‌گوید: یک کاتالیزگر یک واکنش شیمیایی را بدون اثر گذاشتن بر موقعیت تعادل واکنش سرعت می‌بخشد [۵] ادر واقع، می‌توان گفت کاتالیز کلید دگرگونی‌های شیمیایی است. بیشتر تولیدهای صنعتی و تقریباً کل واکنش‌های بیولوژیکی نیازمند کاتالیزگر هستند علاوه بر این کاتالیز مهمترین تکنولوژی در از نشر گازهای سمی به محیط زیست است در این میان می‌توان نصب مبدل برای اگزوز اتومبیل‌ها را نمونه آورد. شکل ۱-۲ چرخه کاتالیزی را به وضوح نشان می‌دهد [۶].



شکل ۱-۲: چرخه کاتالیزی

### ۱-۳ عملکرد کاتالیزگر

قابلیت یک کاتالیزگر برای یک فرایند شیمیایی به سه ویژگی مهم زیر بستگی دارد:

۱. فعالیت<sup>۵</sup>

۲. انتخاب‌پذیری<sup>۶</sup>

۳. پایداری<sup>۷</sup>

---

<sup>۴</sup>Ostwald  
<sup>۵</sup>Activity  
<sup>۶</sup>Selectivity

تعیین این سه عامل بسیار مشکل است زیرا بسته به نوع کاتالیزگر و فرایند کاتالیز تغییر می‌کنند [۸و۷]

### ۱-۳-۱ فعالیت

فعالیت تعیین سرعت پیشرفت یک یا چند واکنش در حضور کاتالیزگر است. فعالیت می‌تواند توسط اصطلاحات سنتیکی تعریف شود. سرعت واکنش  $r$  برابر با تغییرات غلظت واکنشگر نسبت به زمان واکنش و مقدار کاتالیزگر است.

(۱-۱)

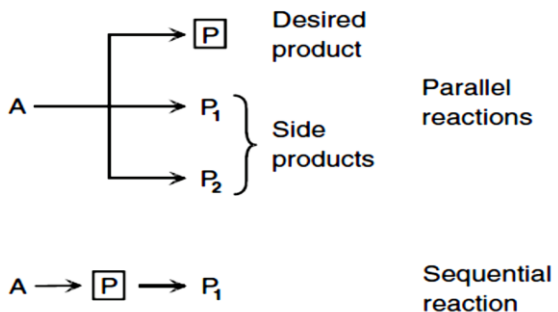
$$(r = \frac{\text{converted amount of substance of reactant}}{\text{volume or catalyst mass . time}} \text{ (mol L}^{-1}\text{h}^{-1} \text{ or mol kg}^{-1}\text{h}^{-1}\text{)})$$

بنابراین می‌توان گفت فعالیت کاتالیزگر به سه عامل زیر وابسته است:

- سرعت واکنش
- ثابت سرعت
- انرژی فعال‌سازی

### ۱-۳-۲ انتخاب پذیری

انتخاب پذیری  $S_p$  یک واکنش کسری از مواد اولیه است که به محصول مطلوب  $P$  تبدیل شده است. انتخاب پذیری می‌تواند توسط نسبت مقدار محصول مطلوب به مقدار ماده اولیه واکنش داده  $A$  بیان کرد که اطلاعاتی در مورد مسیر واکنش می‌دهد. علاوه بر واکنش مطلوب واکنش‌های موازی و پی‌در-پی می‌تواند رخداد (طرح واره ۱-۱).



### طرح واره ۱-۱: واکنش‌های موازی و متوالی واکنش اصلی

از آنجایی که این کمیت مواد اولیه و محصولات را مقایسه می‌کند ضریب‌های استوکیومتری  $s_p$  و واکنش دهنده‌ها باید اعمال شود که معادله زیر را به دست می‌دهد [۷].

(۲-۱)

$$(s_p = \frac{n_P/v_P}{(n_{A,0}-n_A)/|v_A|} = \frac{n_P|v_A|}{(n_{A,0}-n_A)v_P} = (\text{mol/mol or \%}))$$

در مطالعات مقایسه‌ای باید شرایط دمایی ثابت در نظر گرفته شود.

### ۳-۳-۱ پایداری

پایداری حرارتی، شیمیابی و مکانیکی یک کاتالیزگر نیمه عمرش در محیط واکنش‌های صنعتی را تعیین می‌کند. پایداری کاتالیزگر توسط عامل‌های زیادی مانند تجزیه شدن<sup>۸</sup>، سوختن و سمی شدن تحت تاثیر قرار می‌گیرد. غیر فعال شدن کاتالیزگر را می‌توان توسط اندازه‌گیری فعالیت و انتخاب‌پذیری به عنوان تابعی از زمان تشخیص داد. کاتالیزگرهایی که در طول یک فرایند فعالیت خود را از دست می‌دهند اغلب قبل از اینکه مجبور به جایگزینی شان شوند آنها را احیا می‌کنند. نیمه عمر کاتالیزگر اهمیت فوق العاده‌ای در اقتصاد یک فرایند دارد [۶].

<sup>۸</sup>Decomposition